Chirps, temps-fréquence et ondes gravitationnelles

Patrick Flandrin

CNRS & École normale supérieure de Lyon

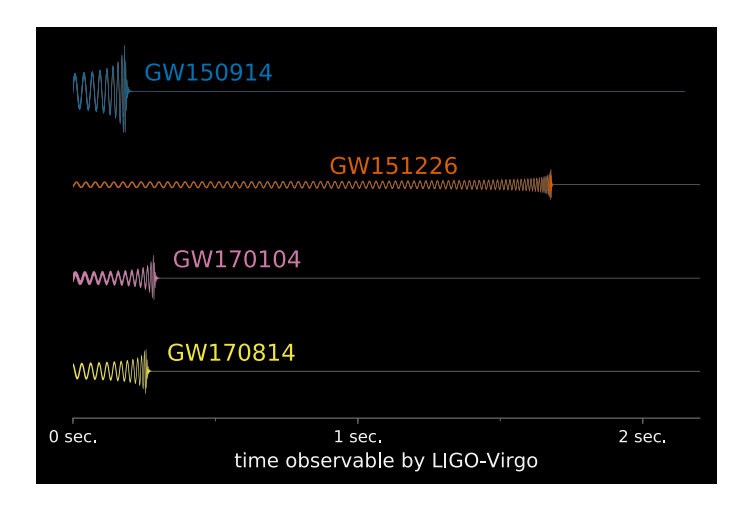






JOGLY — Lyon, 16 oct. 2019

les 4 premiers événements détectés



décrire

modèle de "chirp"

$$x(t) = a(t) \cos \varphi(t) = Re(z(t) = a(t) \exp\{i\varphi(t)\})$$

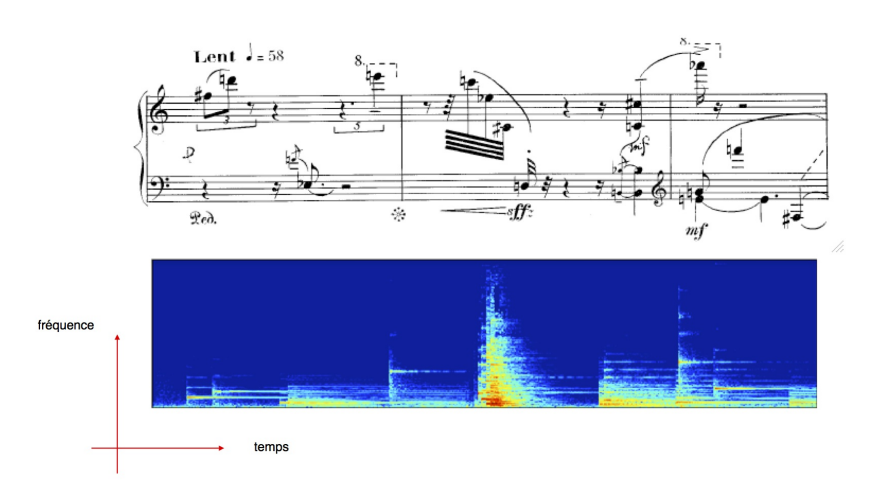
avec:

- ► $a(t) \ge 0$ l'amplitude instantanée
- $\dot{\varphi}(t)/2\pi$ la fréquence instantanée

lorsque z(t) est analytique ([Gabor, '46; Ville, '48])

- des chirps "partout" : sonars animaux, musique, Doppler, phénomènes critiques,...
- ► au-delà de Fourier : temps-fréquence

temps-fréquence



modèle simplifié pour les coalescences de binaires

▶ modèle de chirp

$$X(t; t_0, d) = A(t_0 - t)^{-1/4} \cos \left(2\pi d(t_0 - t)^{5/8} + \varphi\right) \mathbf{1}_{(-\infty, t_0[}(t), t_0)$$

avec:

- ► t₀ instant de coalescence
- ▶ $d \propto \mathcal{M}_{\odot}^{-5/8}$; $\mathcal{M}_{\odot} = (m_1 + m_2)^{2/5} (m_1^{-1} + m_2^{-1})^{-3/5} / M_{\odot}$ "chirp mass" réduite (rapportée à la masse solaire M_{\odot})
- $ightharpoonup A \propto \mathcal{M}_{\odot}^{5/4}/R$; R distance terre-binaire

► fréquence instantanée

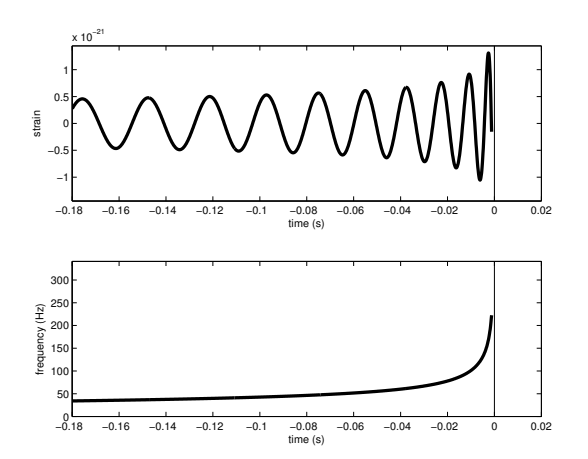
$$f_x(t) = \frac{5d}{8} (t_0 - t)^{-3/8} \mathbf{1}_{(-\infty, t_0[}(t)$$

▶ limitation

- **divergence** lorsque $t \rightarrow t_0$ (chirp?)
- complétion par "ring down"

modèle simplifié pour les coalescences de binaires

- ► exemple inspiré de GW150914 :
 - ► masses individuelles de 30 M_☉
 - ► distance de 800 Mpc



chirps et temps-fréquence

interprétation

- chirp = trajectoire dans le plan temps-fréquence
- ▶ représentations localisées ?
 - solution exacte pour les chirps en lois de puissance [Bertrand & Bertrand, '88] mais :
 - ▶ représentation quadratique (à la Wigner)
 - calcul prohibitif
 - solution approchée
 - spectrogramme réalloué [Kodera et al., '76; Auger & F., '95, Chassande-Mottin & F., '99]
 - autres
 - ► ondelettes [Innocent & Torresani, '97]
 - "synchrosqueezing" [Daubechies & Maes, '94]

chirps et temps-fréquence

interprétation

chirp = trajectoire dans le plan temps-fréquence

▶ représentations localisées ?

- solution exacte pour les chirps en lois de puissance [Bertrand & Bertrand, '88] mais :
 - ► représentation quadratique (à la Wigner)
 - calcul prohibitif
- solution approchée
 - spectrogramme réalloué [Kodera et al., '76; Auger & F., '95, Chassande-Mottin & F., '99]
- autres
 - ondelettes [Innocent & Torresani, '97]
 - "synchrosqueezing" [Daubechies & Maes, '94]

"revisiter" le spectrogramme

classiquement

- ► spectrogramme = |TFCT|²
- ► TFCT = $\langle x, \mathbf{T}_{t,f} h \rangle$, avec h fenêtre à court-terme et $\mathbf{T}_{t,f}$ opérateur de translation temps-fréquence

▶ de façon alternative

- ► spectrogramme = $\iint W_x(s,\xi)W_h(s-t,\xi-f)\,\mathrm{d}s\,\mathrm{d}\xi$
- ► *W* distribution de Wigner(-Ville) = $\langle x, \Pi_{t,f} x \rangle$, avec $\Pi_{t,f}$ opérateur de parité locale

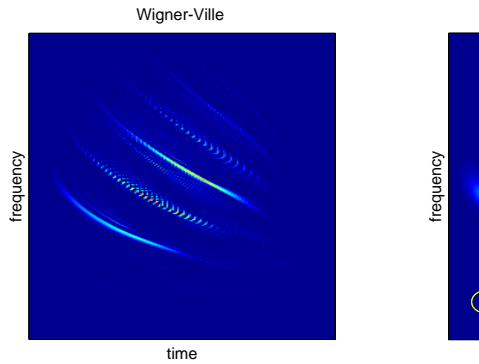
▶ interprétation

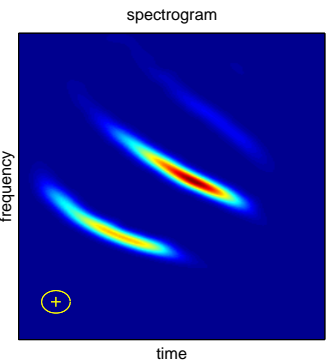
- spectrogramme = Wigner lissée
- W parfaitement localisée sur les chirps linéaires unimodulaires
- ► h gaussienne $\Rightarrow W_h$ à lissage minimal dans le plan

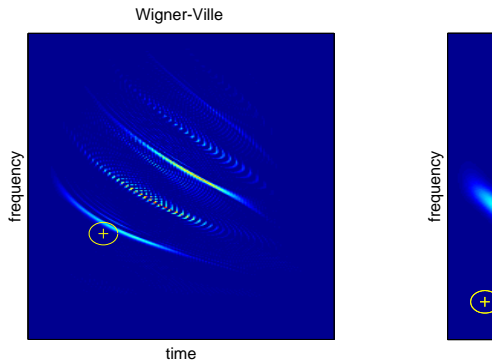
corollaire

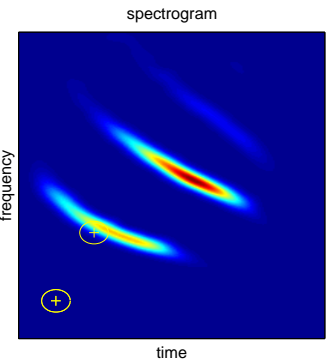
analogie mécanique

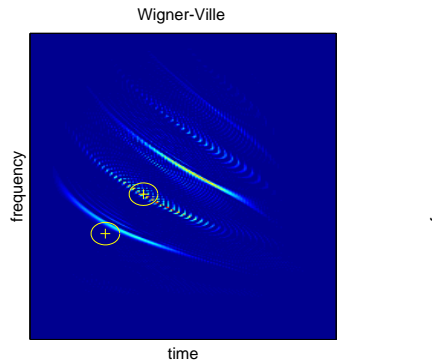
- ▶ distribution d'énergie par W_x ~ distribution de masse
- ▶ spectrogramme = masse totale sur le support de W_h
- valeur affectée au centre géométrique de la cellule de lissage
- ▶ principe de réallocation [Kodera et al., '76]
 - réaffecter la valeur au centre de gravité
 - ▶ information contenue dans la phase de la TFCT
- ► en pratique [Auger & F., '95]
 - ► calcul implicite des centres de gravité locaux en utilisant 3 TFCT basées sur h(t), t h(t) et (dh/dt)(t)
 - ► codes Matlab disponibles à tftb.nongnu.org

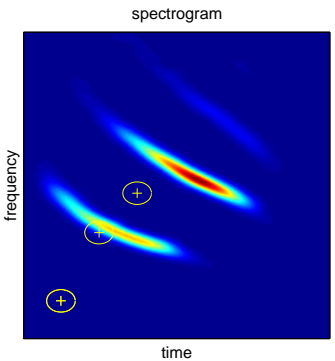


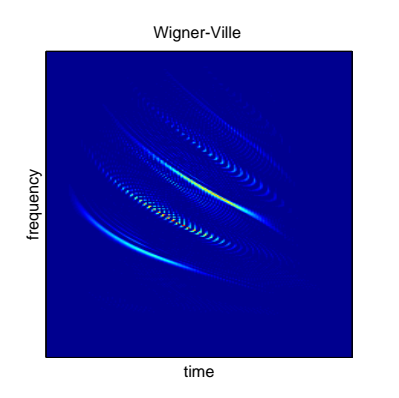


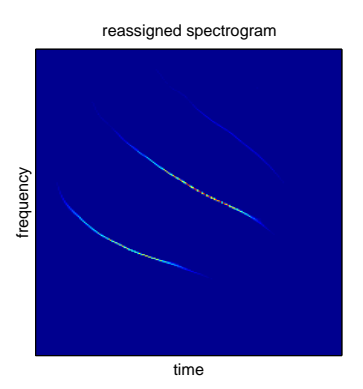




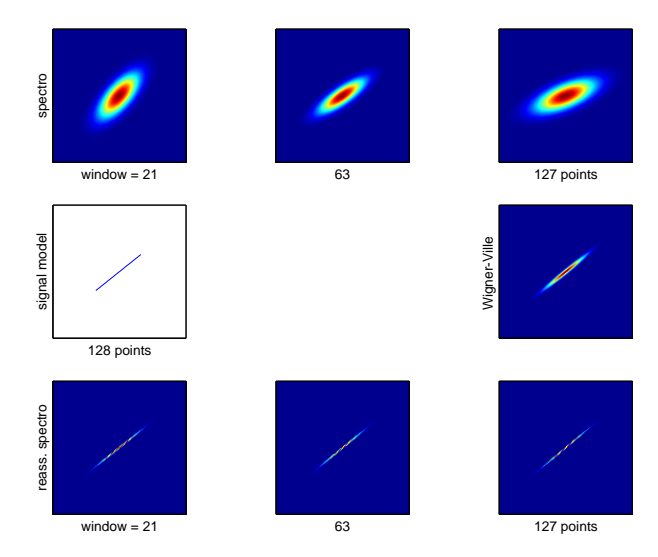




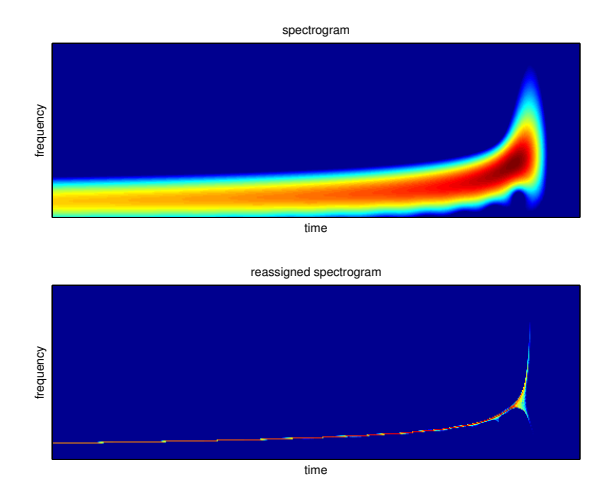




quelle fenêtre?



retour sur le modèle inspiré de GW150914



détecter/estimer

avec modèle

- "chirp" de forme connue, dépendant de paramètres physiques du système
- filtrage adapté

▶ sans modèle

- excès local d'énergie dans le plan temps-fréquence et coïncidence entre détecteurs
- ► "Coherent Wave Burst" (S. Klimenko et al.)
- filtrage par zéros

détecter/estimer

avec modèle

- "chirp" de forme connue, dépendant de paramètres physiques du système
- ► filtrage adapté

▶ sans modèle

- excès local d'énergie dans le plan temps-fréquence et coïncidence entre détecteurs
- "Coherent Wave Burst" (S. Klimenko et al.)
- filtrage par zéros

analyse avec modèle : filtrage adapté

▶ hypothèses

- structure imposée (filtrage linéaire)
- ► signal connu dans bruit blanc

▶ optimalité

- mesure de contraste = SNR en sortie du filtre
- ▶ réponse impulsionnelle = signal retourné dans le temps

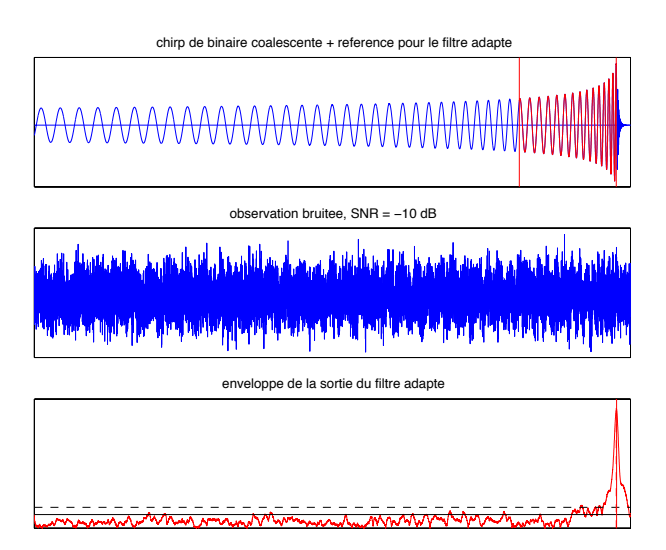
▶ en pratique

- détection : corrélation observation-signal attendu + seuil
- estimation : autant de gabarits que de paramètres

filtrage adapté (sans bruit)

filtrage adapté (avec bruit)

filtrage adapté et modèle simplifié



filtrage adapté temps-fréquence

- ightharpoonup choix d'une distribution temps-fréquence ho idéalement
 - ► unitaire : $|\langle x, r \rangle|^2 = \langle \langle \rho_x, \rho_r \rangle \rangle$ ► localisée : $\rho_r(t, f) = a_r^2(t) \, \delta(f - f_r(t))$
- ► stratégie approchée [Chassande-Mottin & F., '99]
 - $ho = \tilde{S}$, spectrogramme réalloué
 - ► filtrage adapté = intégration de chemin dans le plan temps-fréquence
- ▶ pour le modèle simplifié à 2 paramètres t_0 et \mathcal{M}_{\odot}

$$(\hat{t}_0, \hat{\mathcal{M}}_{\odot}) = \arg\max_{(t_0, \mathcal{M}_{\odot})} \int_{\mathcal{L}(t_0, \mathcal{M}_{\odot})} \tilde{\mathcal{S}}_{y}(t, f) \, f^{-2/3},$$

avec

$$\mathcal{L}(t_0, \mathcal{M}_{\odot}) = \left\{ (t, f) \, | \, t_0 - t = 6.35 \times 10^5 \, \mathcal{M}_{\odot}^{-5/3} \, f^{-8/3}
ight\}.$$

analyse sans modèle : une vue a contrario

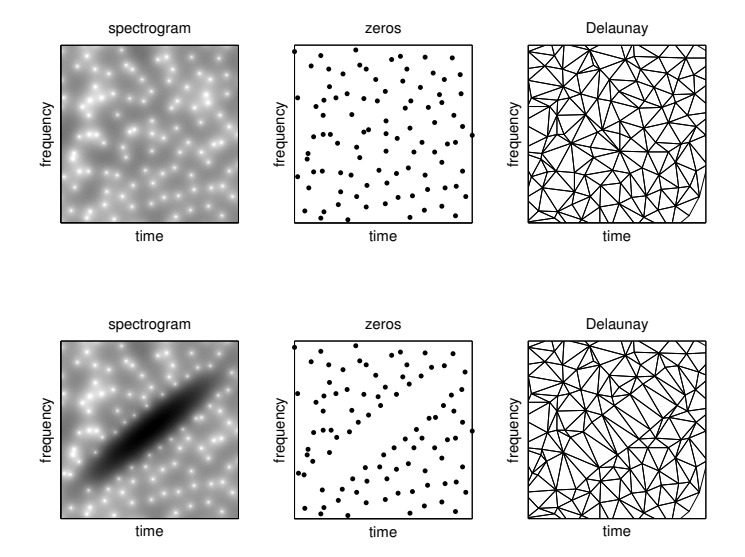
▶ approche usuelle à l'idée de composante

- s'intéresser aux grandes valeurs temps-fréquence
- leur associer une organisation cohérente
- ► alternative [F., '15]
 - s'intéresser aux minima plutôt qu'aux maxima
 - ► identifier des domaines entre zéros

► substrat théorique

- transformée de Bargmann et factorisation de Weierstrass-Hadamard
- propriétés des zéros des "Gaussian Analytic Functions" [Hough et al., '09]

triangulation de Delaunay basée sur les zéros

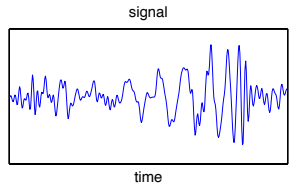


Algorithme [F., '15]

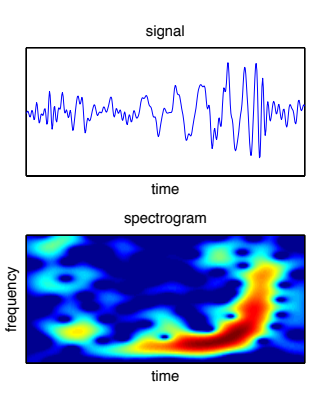
- 1. Calculer la **TFCT à fenêtre gaussienne circulaire** $F_x^{(g)}(t, f)$ et le spectrogramme associé
- 2. Localiser les zéros du spectrogramme
- 3. Calculer la triangulation de Delaunay associée
- 4. Identifier les triangles anormaux % longueur des côtés
- 5. Garder les triangles avec au moins un côté anormal
- 6. Former des **domaines connexes** \mathcal{D}_j avec de tels triangles adjacents
- 7. **Reconstruire** les composantes correspondantes selon, par exemple,

$$x_j(t) = \frac{1}{g(0)} \int_{f \in \mathcal{D}_j \mid t} F_x^{(g)}(t, f) \, \mathrm{d}f$$

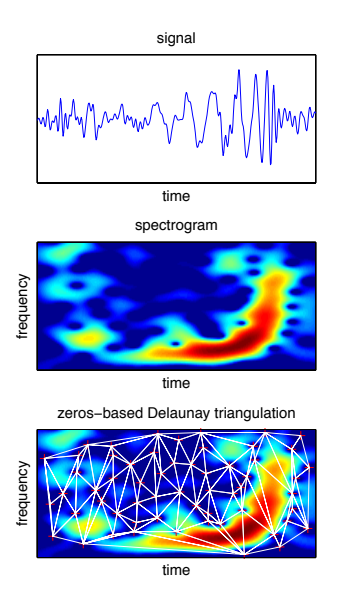
chirp de GW10914 (Hanford)



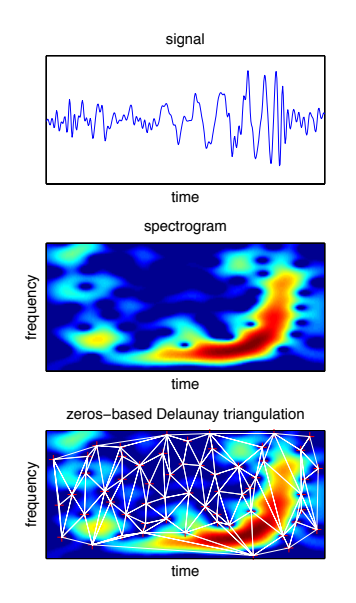
spectrogramme

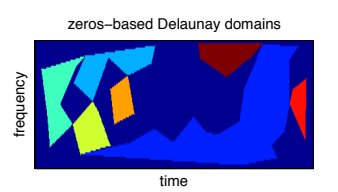


zéros et triangulation de Delaunay

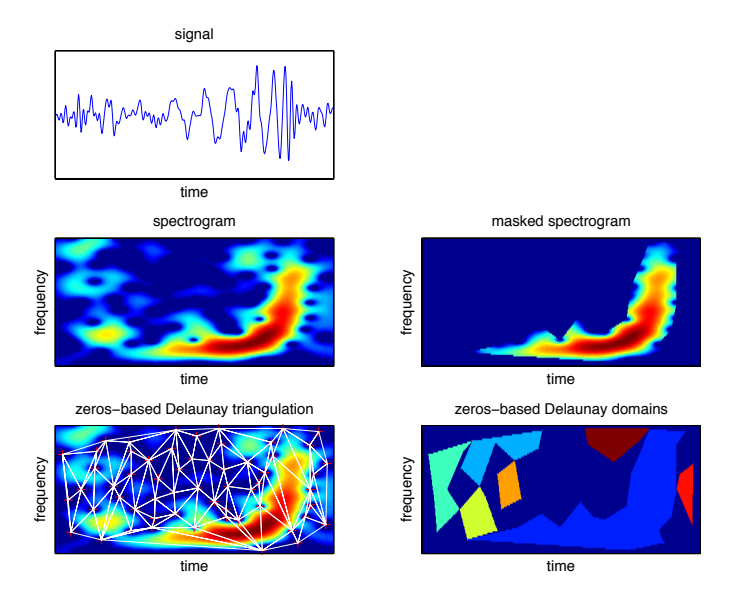


domaines temps-fréquence

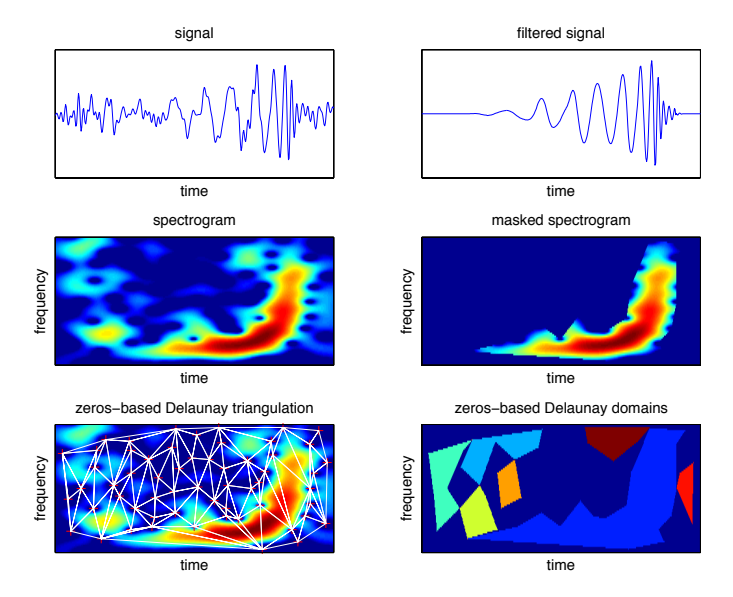




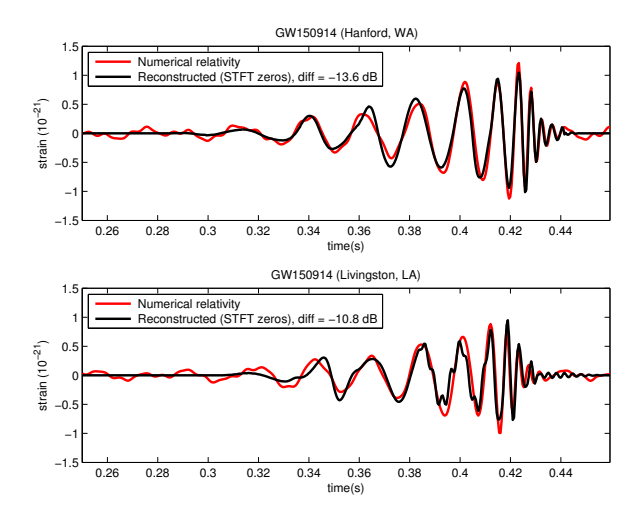
spectrogramme masqué 1/0



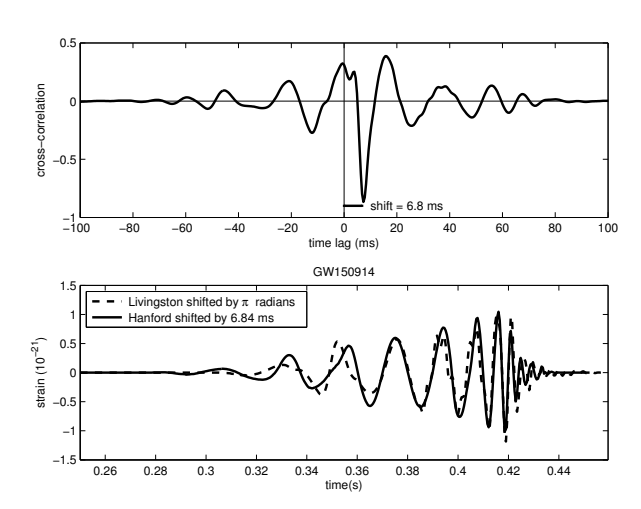
reconstruction filtrée



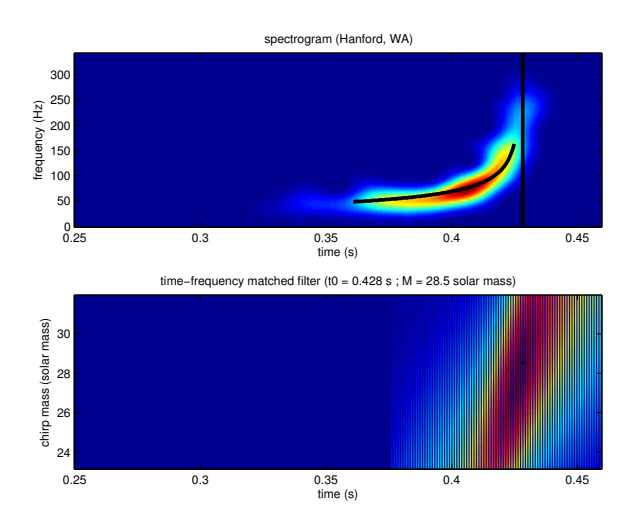
observations filtrées vs. modèles (élaborés)



de Livingston à Hanford

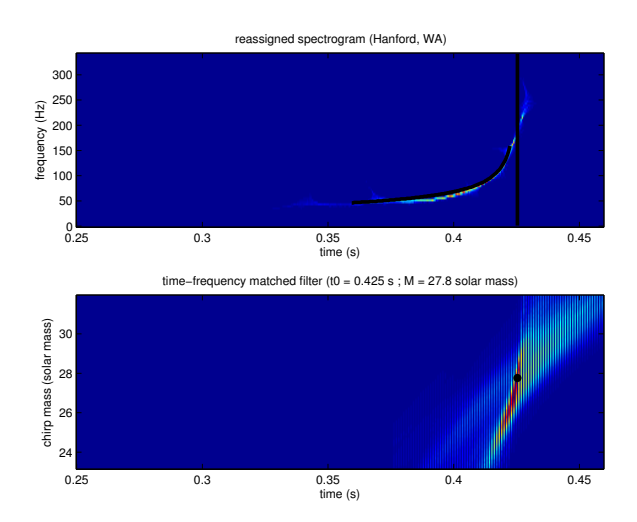


filtrage adapté temps-fréquence



([Abbott et al., '16]:
$$m_1=36$$
 et $m_2=29\Rightarrow \mathcal{M}_{\odot}=28$)

filtrage adapté temps-fréquence



([Abbott et al., '16]:
$$m_1=36$$
 et $m_2=29\Rightarrow \mathcal{M}_{\odot}=28$)

pour conclure

▶ temps-fréquence

- espace "naturel" pour les chirps d'ondes gravitationnelles
- possibilités de détection et d'estimation
- faisabilité conceptuelle mais beaucoup reste à faire

quelques références

- E. Chassande-Mottin, P. Flandrin, "On the time-frequency detection of chirps," Appl. Comp. Harm. Anal., Vol. 6, No. 2, pp. 252–281, 1999.
- P. Flandrin, F. Auger, and E. Chassande-Mottin, "Time-frequency reassignment From principles to algorithms," in Applications in Time-Frequency Signal Processing (A. Papandreou-Suppappola, ed.), Chapter 5, pp. 179–203, Boca Raton, FL: CRC Press, 2003.
- P. Flandrin, , "Time-frequency filtering from spectrogram zeros," IEEE Signal Proc. Lett., Vol. 22, No. 11, pp. 2137–2141, 2015.
- P. Flandrin, "A note on the time-frequency analysis of GW150914," Research report, https://hal-ens-lvon.archives-ouvertes.fr/ens1-01370441, 2016.
- P. Flandrin, Explorations in Time-Frequency Analysis, Cambridge, UK: Cambridge Univ. Press, 2018.

► (p)reprints et contact

- ▶ perso.ens-lyon.fr/patrick.flandrin
- ► flandrin@ens-lyon.fr